# 塑膠基板沉積ITO薄膜 技術

### 黃崇傑

工研院工業材料研究所 研究員

#### 摘要

目前台灣的平面顯示器產業正如雨後春筍般迅速發展,

LCD相關產品也因這股熱潮價格快速下滑,

日本平面顯示器生產廠商感受到這股強大壓力,

紛紛朝下一代平面顯示器積極開發,

以透明塑膠基材取代玻璃當作顯示器材料更是大家努力的目標,

因為它可以使顯示器變得更輕、更薄迎合消費者需求,

有見於此時勢之所趨,工業材料研究所也積極從事相關關鍵技術之開發,

其中包括塑膠基板沉積ITO薄膜技術開發,

期望藉此能使台灣的平面顯示器產業再往前跨出一大步。

#### 關鍵詞

塑膠基材(Plastic Substrate);平面顯示器(Flat Panel Display);濺鍍(Sputtering)

## 前言

近年來由於電子、資訊產品的蓬勃發展,使得透明導電薄膜的需求與日俱增,特別是ITO(Indium Tin Oxide)薄膜,在如此龐大的商機中,各業者無不投消費者之所好,朝更輕、更薄、更炫、功能更強...等等方向不斷推陳出新,當然這對透明導電薄膜的要求也就越來越高。以透明塑膠基材當作顯示器材料,不但能夠達到輕、薄的目的,更有耐衝擊

(Impact)的優點,是未來產品發展必然的 趨勢,其中如何於塑膠基板沉積高品質 的ITO薄膜即是一項相當關鍵技術,本文 將就此技術之目前發展現況作簡要介 紹。

## ITO的特性

ITO是一個很特別的氧化物半導體材料,它不但有高的能隙(Bandgap Eg 2.9eV)讓可見光穿透,更有高濃度的導電

表二 E-beam Evaporation、Laser Deposition、Spray Pyrolysis、Sputtering等方法鍍ITO薄膜的比較

	e-beam	Laser	Spray	Sputtering
穿透率				
導電性				
成長溫度(°C)	150-350	25-300	200-500	25-300
大面積均勻性				

備註:表中符號各代表 :優 :中 :劣

表一 ITO的物理特性

晶格常數	10.118Å
理論密度	7.14g/cm <sup>3</sup>
折射率	1.7-2.2
能隙	2.9-3.8 eV
載子濃度	10 <sup>20</sup> -10 <sup>21</sup> cm <sup>-3</sup>
移動率	10-50 cm <sup>2</sup> /V ⋅ sec

載子(Carrier)及不錯的移動率(Mobility), 其導電載子是由兩個機制造成的。

1. 錫摻雜(Doping):ITO結構的主體是 $In_2O_3$ ,晶格結構為Cubic,Sn是少量取代物,利用四價的Sn取代三價的In,造成多一個電子可以有機會游離至導電帶(Conduction Band),提高導電度,實際分析結果,約有1/10的摻雜Sn能夠提供自由電子。

2. 氧空缺(Vacancy):晶格上氧的空缺也可以增加Carrier的數目,基本上一個氧空缺可以產生兩個導電電子。表一為ITO的一些物理特性

# ITO薄膜成長方法

目前已知的ITO薄膜成長方法很多,但多偏向物理氣象沉積方式(PVD),包括 E-beam Evaporation<sup>[1]</sup>、 Laser Deposition<sup>[2]</sup>、 Spray Pyrolysis<sup>[3]</sup>、 Sputtering<sup>[4]</sup> 等方法,表二為這幾種方法的比較。

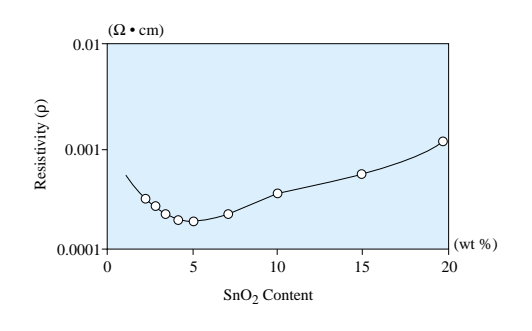
從表中可看出相較其他系統 Sputtering(濺鍍)鍍膜有較多的優點, 因此已知目前的ITO薄膜量產都是應用此 技術,而且都是直接採用ITO靶材,不利 用Reactive Sputter的技術。

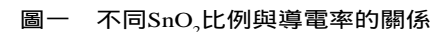
以往的液晶顯示 (LCD)產品都是以玻璃為基材,因此ITO鍍膜也都強調於玻璃基板上的結果,然而由於攜帶用平面顯示器材的需求量大增,使得重量及易碎的問題慢慢浮上台面,塑膠基材的開發已是時勢所趨,然而要實現塑膠基材的實用化,低溫、高品質的ITO鍍膜技術開發,為其中相當重要的一環,本文中將對低溫之濺鍍ITO技術作較完整的介紹。

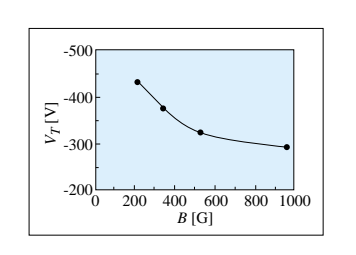
## 塑膠基板ITO鍍膜之考量

#### 一、靶材

ITO靶材製程大都由In<sub>2</sub>O<sub>3</sub>及SnO<sub>2</sub>兩種粉末混合經鍛燒(Calcine)、高壓、燒結(Sintering)而成,為了得到較佳的導電度,SnO<sub>2</sub>比例一般要求在2-15%之間(圖一所示),原因是太低的SnO<sub>2</sub>濃度產生的電子數不夠多,太多量又造成晶格變形或有其他雜相生成而不利導電,目前量產使用靶材以SnO<sub>2</sub>佔9-10%為最多,純度(Purity)則要求99.99%;另一個影響導電







圖三 磁場強度與放電電壓 的關係 圖二 In<sub>2</sub>O<sub>3</sub>及SnO<sub>2</sub>的Phase

Diagram

程度的重要因素是靶材的密度,現今ITO 靶材的密度都要求達理論密度的95%以上,因為靶材在濺鍍的過程中受到粒子的撞擊會產生沖蝕(Erosion)現象,若是平面磁控濺鍍(Planar Magnetron Sputter)系統靶材更會產生不均勻之沖蝕,這將造成許多不良的影響,包括:放電電壓升高、靶材利用率低、容易產生微粒及成分不均等問題,為改善這些問題提高使用壽命及重複性,高密度靶材的研發也是許多靶材生產廠商努力的方向。

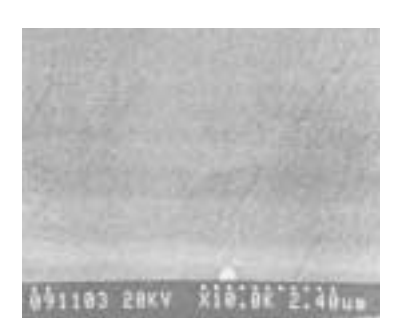
ITO靶材的異相生成物的多寡,也是值得注意的問題,由圖二 $In_2O_3$ 及 $SnO_2$ 的 Phase Diagram中可發現,一般ITO 靶材需要在高溫下燒結,而且很難得到單一  $(In_{0.9}\ Sn_{0.1})_2O_3$ 相(C1 phase),特別當 $SnO_2$  超過1.5%以上容易有 $SnO_2$  (T phase)及  $(In_{0.6}Sn_{0.4})_2O_3$ (C2 phase)產生,C2 phase基本上不是很好導電相,這些雜相在經長時間的濺鍍過程很容易產生結球(Nodule) 現象,造成薄膜品質劣化。

#### 二、磁場強度

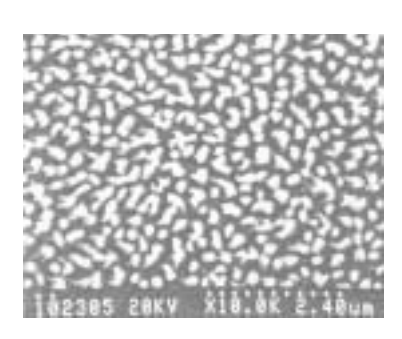
在磁控濺鍍的過程,磁場有助於帶電粒子的聚集,特別是電子因質量較小 越容易被束縛,因此在高磁場處將產生 較高密度的電漿,放電電壓也因而下降 (圖三顯示典型磁控濺鍍系統其放電電壓 與磁場呈負相關的關係);放電電壓的下降有助於減少電漿中高能量離子數目,降低薄膜表面被高能量離子轟擊 (Bombardment)的機率,使得薄膜有較佳的結晶性。現今資料顯示在磁場強度為200-300G的玻璃基板上,基板溫度為200°C,可得到阻值約為2.2×10<sup>-4</sup>Ω-cm之ITO薄膜,在相同條件下若將磁場強度增加為1000G,則阻值可降低至1.7×10<sup>-4</sup>Ω-cm。

#### 三、鍍膜前基材的處理

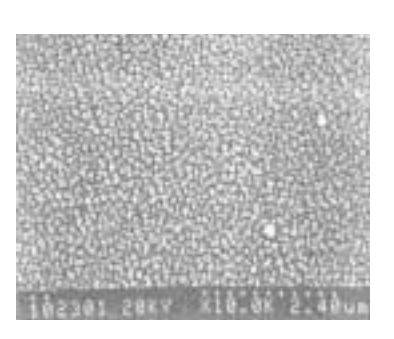
ITO為金屬氧化物在某些特性上與陶瓷材料相類似,與塑膠材料無論在延展性、曲折性(Bending Property)、硬度 等等機械性質都有很大差異,因此於塑膠基材上鍍ITO薄膜,必須克服更多如附著力、內應力、耐曲折性 等等問題,這些問題有很多是可以從塑膠基材表面處理來加以改善,塑膠材料表面的改質依目標(如接合材料)的不同,處理方式也不一樣,對ITO而言,目前已知的改善方法是Reactive Ion Etching (RIE),利用較高能量且活性較強的粒子或離子,撞擊



圖四 未經處理的Acrylic基材 SEM圖形



圖五 Acrylic基材經RIE處理 5min所得到的SEM結果



圖六 Acrylic基材經RIE處理 15min所得到的SEM結果

表三 有、無RIE處理ITO/Acrylic結構的一些特性

	ITO厚度(鍍2hr)	表面粗糙度(rms值)	附著強度
未經處理	2715 Å	22.3 nm	29.65 Kgf/cm <sup>2</sup>
經RIE處理	4165 Å	28.8 nm	141.03 Kgf/cm <sup>2</sup>

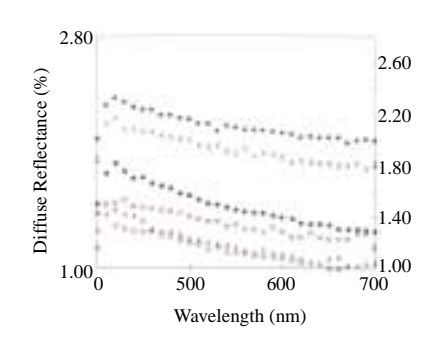
塑膠基材表面產生反應性或轟擊性蝕刻 (Etching)效果。

圖四、五、六為SEM圖形,分別針 對Acrylic基材做RIE處理,在0min, 5min, 15min不同時間所得到的結果。處 理的條件為:氣體 $O_2/CF_4=1/9$ ,功率 25W,反應壓力10mTorr;圖中可發現未 經處理的Acrylic基材表面相當平整,而 經過5min蝕刻的基材表面則出現一些突 出物,經過15min蝕刻的基材表面突出物 變小,但數目增加,由SEM的結果可了 解,此種RIE的處理,主要是改變塑膠基 材表面的粗糙度及接觸面積,如此在鍍 ITO可增加接面上機械式互鎖(Mechanical Interlock)的力量,以改善接面上的問題。 表三顯示有、無RIE處理ITO/Acrylic結構 上的一些特性差異。

從表三中可發現, RIE處理過的基材 能夠提高4倍甚至更高的附著強度,薄膜 的沉積速率(Deposition Rate)也會提高一 些,缺點是粗糙度增加,但增加幅度不 會超過30%。事實上,粗糙度增加也會影 響材料的反射及透光特性。圖七為不同 RIE處理時間下, Acrylic基材表面散射的 反射率(Diffuse Reflectance)與入射光波長 之間的關係。所謂散射的反射率,是指 固定反射角之外的反射光強度與入射光 強度的比值,值越大表示基材表面散射 的光越多透光特性越差;圖中也顯示出 處理時間越長散射光強度也就越強。

#### 四、氧分壓

在ITO鍍膜中氧是一個很重要卻不易 控制的參數,或許也有人認為只要能夠 將濺鍍過程中氧氣流量做仔細控制即 可,事實上並沒有這麼簡單,氧分壓的 來源還至少包括了靶材中氧原子的釋放 及chamber壁上釋放出的水分子分解,藉 由一些分析儀器(如殘留氣體分析儀、 質譜儀等),或許可以約略知道其氧分壓 量,但是還是很難加以控制,特別是在 低氧壓狀態。目前一些量產上的控制還 是靠經驗及氧氣流量的控制。至於氧分 壓的影響有多大,從圖八、九、十可以 了解,三張圖分別為氧分壓與導電率、

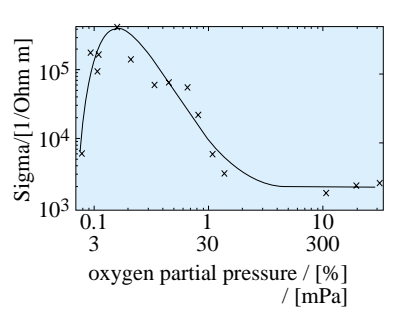


圖七 Acrylic基材經RIE處理
( )0,( )5,( )10,( )15,
(X)20,( )25min表面散射的反射
率與入射光波長之間的關係

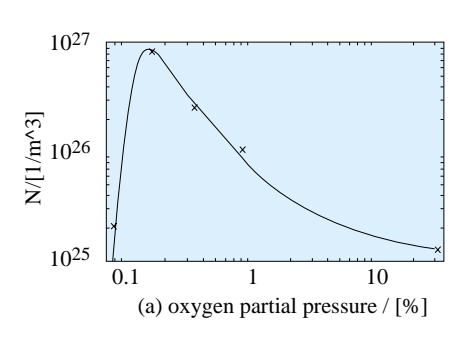
電子濃度及移動率的關係,可發現三者有類似的關係,在氧壓<0.1%時,ITO的電子濃度及移動率都不好,主要歸咎於氧缺陷太多,晶粒或晶格成長不佳所致;高氧壓時因為氧缺陷變少,相對的產生游離導電之電子數也因而減少,因此導電性變差。

除了電性,氧分壓對ITO的光學性質也有影響,圖十一為氧分壓對透光率之關係。由圖中看出,無論是在可見光區或紅外光區,低氧時ITO的透光性質都較差。綜合前面的結果可知,若要得到最佳品質的ITO薄膜,氧分壓應控制在0.1-0.3%之間。

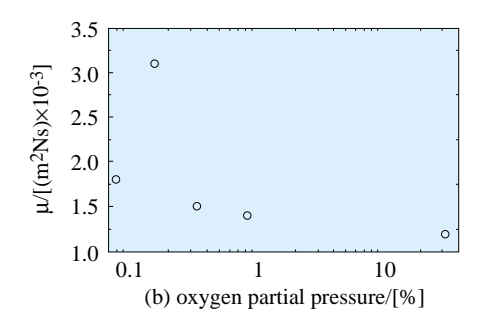
另外,值得一提的是氧分壓會影響ITO的表面型態,圖十二(a)、(b)、(c)、(d)TEM圖形分別是氧壓為0,9,15,30mPa條件下所得到的結果(基板溫度為25°C),圖中可看出氧分壓越高所形成的結晶結構越明顯,從x-ray分析也可以得到相同的結論;但這結晶並不是從接面(Interface)處開始生成,而是離接面一段距離才產生結晶相(如圖十三(a)所示,大約在50nm處產生結晶相),若將此樣品



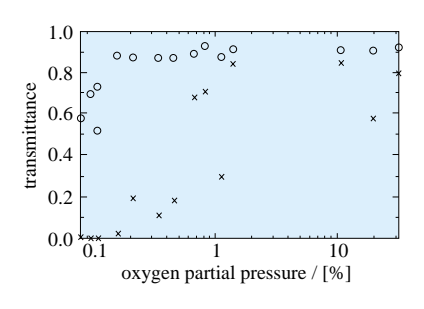
圖八 氧分壓與ITO導電率的關係



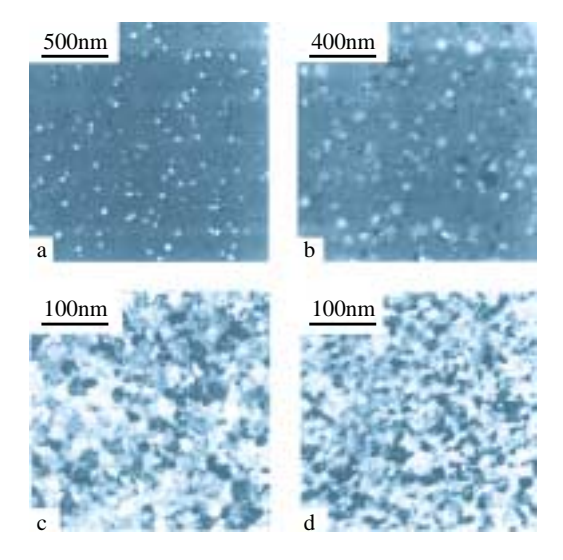
圖九 氧分壓與ITO電子濃度的關係



圖十 氧分壓與ITO電子移動率的關係

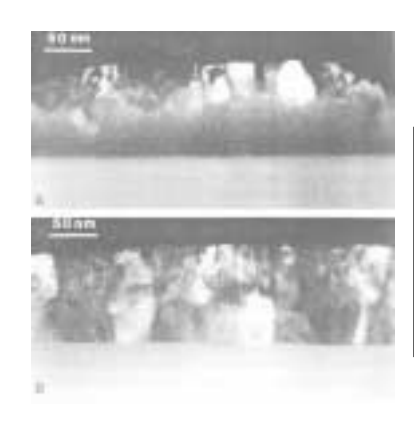


圖十一 氧分壓與ITO穿透率的關係(o)390-770nm(x) 1500-3200nm



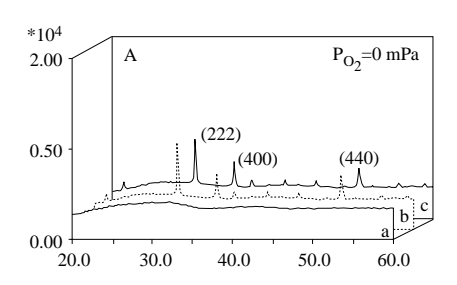
圖十二 不同氧分壓(a) 0, (b) 9, (c) 15, (d) 30mPa成長的ITO薄膜其TEM圖形

經250°C退火處理,則結晶相會往下延伸至接面(如圖十三(b)所示 》。由以上的結果可看出,氧分壓對ITO結構的重要性,但真正的原理為何,還沒有定論,較多



## 表四 目前ITO研發中較常見的 塑膠基材及其處理的溫度範圍

材料	處理溫度
Acrylic	<80°C
Myler	<140°C
Polycarbonate	<140°C
Polyester	<170°C



圖十四 於(a)25°C成長再經(b)250°C退火處理,與直接(c)250°C成 長之ITO薄膜其x-ray分析之結果

圖十三 ITO 鍍在玻璃基板的 TEM圖形(a)濺鍍 後的結果(b)樣品 再經250°C退火處 理的結果

#### 的兩種說法是:

- 1. 氧量的增加有助於原本排列不好(Disorder)及非當量(Nonstoichmetry)的組成慢慢規則化,進而形成晶核(Nuclei),發展出結晶結構。
- 2. 氧量會直接影響電漿中粒子的分布,O及O粒子的增加有助於提升撞擊薄膜表面粒子數目,使到達薄膜表面粒子的動能增加,有助於粒子找到合適的位置,形成結晶結構。

#### 五、基板温度

基板溫度是絕大多數的鍍膜控制中必須考慮的項目,因為加溫的基板可增加到達薄膜表面粒子的動能,及降低形成鍵結時的位障(Energy Barrier),進而形成結構更佳的薄膜,ITO也是如此。圖十四的x-ray圖形分別為(a)25°C成長,(b)250°C退火處理,(c)250°C成長ITO薄膜所得到的結果,在高溫處理的樣品都可發現有較佳的結晶性。

塑膠材料一般而言都無法承受高溫,因此鍍膜溫度必須注意。表四列出一些目前 ITO研發中較常被使用的基材, 其處理的溫度限制,由表四中可看出使用的塑膠基材其容許溫度都遠低於 200°C。

## 結論

以塑膠取代玻璃基板應用於平面顯示器上是未來必然的趨勢,因此於塑膠基板沉積ITO薄膜將是必須要發展的技術,然而如何突破技術的困難,包括更合適塑膠基材的開發,更低溫更高品質ITO薄膜的沉積,使得導電性、透光性、機械性質 等都能達到要求,則有賴不同領域的專才共同努力加以克服。

# 參考資料

- Y.Shigesato, S. Tasaki and T. Haranoh, J. Appl. Phys., 71(1992) 3356.
- F.O. Adurodija, H. Izumi, T. Ishihara, H. Yoshioka, M. Mootoyama and K.Murai,
   Jpn. J. Appl. Phys., 39(2000)L377
- J. C. Manifacier, L. Szepersy, J. F. Bresse,
   M. Perotin, and R. Stuck, Mater. Res.
   Bull., 11(1978)109
- 4. B. S. Chiou and S. T. Hsieh, Thin Solid Film, 229(1993)146